

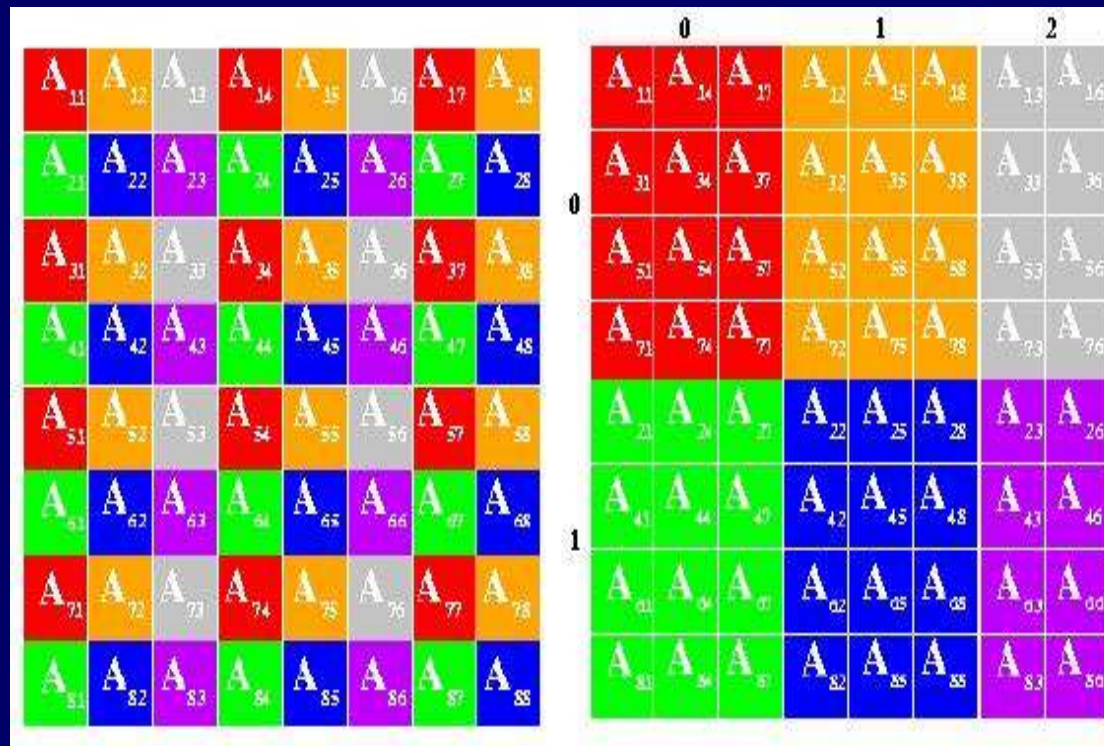
Cours 4. Analyse d'algorithmes avec prise en compte des communications

- Analyse de schémas de communication globale
- Exemple du produit de matrices
- FFT

www-id.imag.fr/Laboratoire/Membres/Roch_Jean-Louis/perso.html/COURS/

Distribution bloc-cyclique bi-dimensionnelle

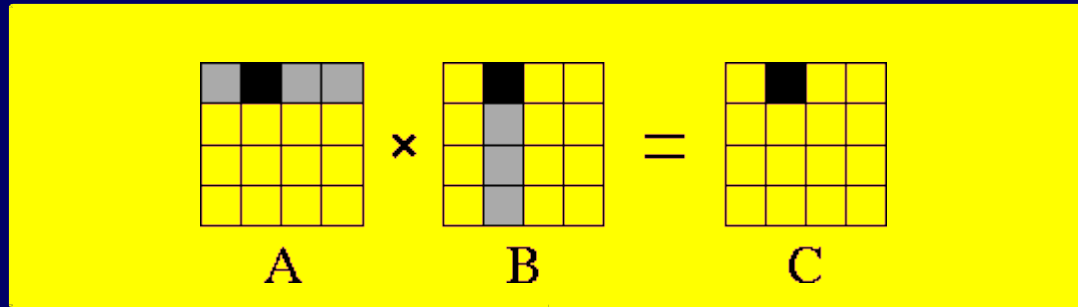
Sur 6 Processeurs, agencés en grille 2x3



Exemple de synthèse : produit de matrices

- I. Distribution de données: ligne-colonne
- II. Distribution de données: bloc bi-dimensionnel
- III. Distribution de calculs

Algorithme 1: ligne-colonne



- | $A(i, _)$: découpée en K blocs de n/K lignes:
- | $B(_, j)$: découpée en K blocs de n/K colonnes
 - § Répliquée sur tous les processeurs
- | $C(i, _)$: découpée en K blocs de n/K lignes

- | Affectation des calculs sur $C(i, _)$ au même proc
- | Coût : $T_\infty = (n/K).n^2 = n^3/K$ $T_1 = n^3$ opérations 4

Algorithme ligne-colonne

Circulation des colonnes de B

| Algorithme en K étapes : sur le proc i ($0 \leq i < K \leq n$)

§ Init : $C(i, _) = 0$;

§ For ($k=0; k < K; k++$) {

 w $C(i, i+k \% K) = A(i, _)*B(_, i+k \% K)$;

§ }

Algorithme ligne-colonne

Circulation des colonnes de B

| Algorithme en K étapes : sur le proc i ($0 \leq i < K \leq n$)

§ Init : $C(i, _) = 0$;

§ For ($k=0$; $k < K$; $k++$) {

w $C(i, i+k \% K) = A(i, _) * B(_, i+k \% K)$;

§ }

| Coût : $T_\infty = K \cdot (n/K)^2 \cdot n = n^3/K$ et $T_1 = n^3$

| Communications: $C_\infty = n^2/K + K \cdot n^2/K = n^2$ et $C_1 = n^2 \cdot K$

| Avec $K=p \leq n$ processeurs : $T_\infty = n^3/p$ et $C_1 = n^2 \cdot p$

Algorithme ligne-colonne

Circulation des colonnes de B

| Algorithme en K étapes : sur le proc i ($0 \leq i < K \leq n$)

§ Init : $C(i, _) = 0$; $localB = B(_, i)$; $tmpB = \text{buffer}(n^2/K)$;

§ For ($k=0$; $k < K$; $k++$) {

 w $\text{async_send}(localB, i-1 \% K)$; $\text{async_recv}(tmpB, i+1 \% K)$;

 w $C(i, i+k \% K) = A(i, _) * localB$;

 w **Sync** ; $\text{swap}(localB, tmpB)$;

§ }

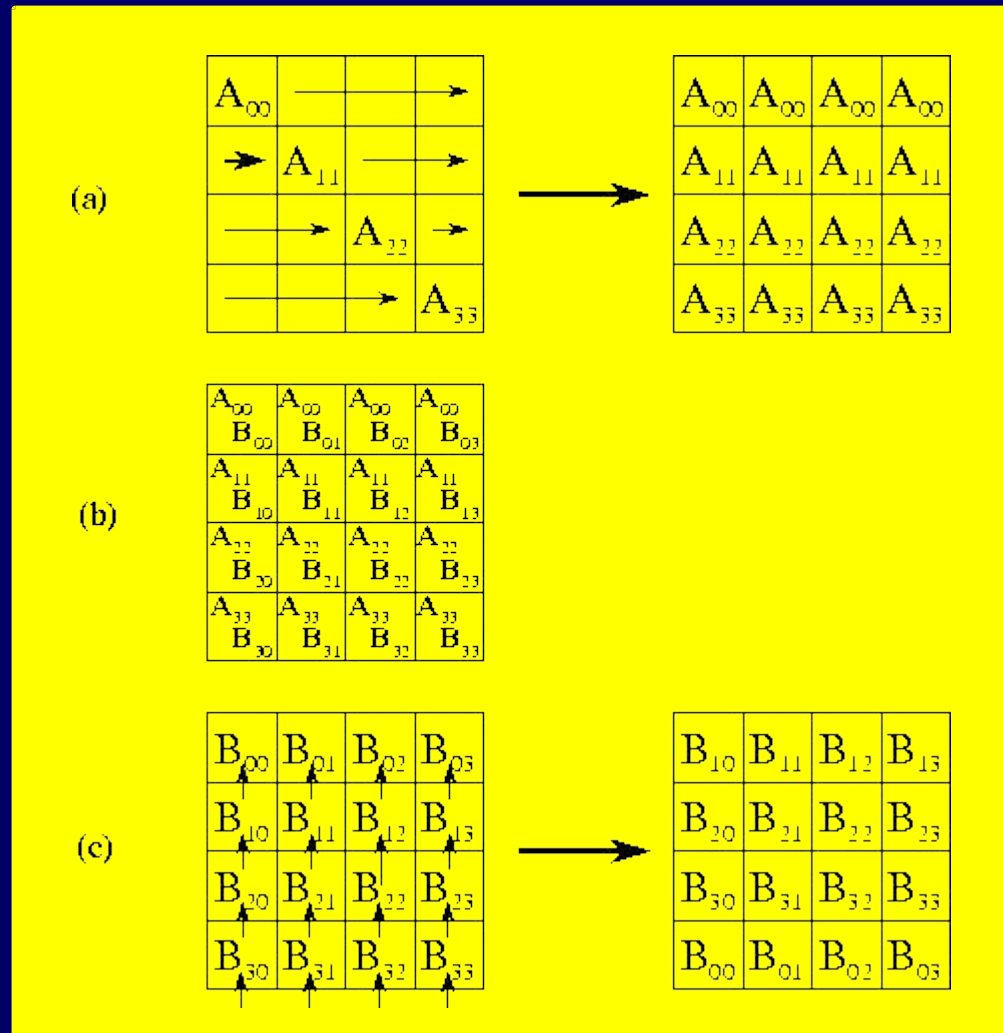
| Coût : $T_\infty = K \cdot (n/K)^2 \cdot n = n^3/K$ et $T_1 = n^3$

| Communications: $C_\infty = n^2/K + K \cdot n^2/K = n^2$ et $C_1 = n^2 \cdot K$

| Avec $K=p \leq n$ processeurs : $T_\infty = n^3/p$ et $C_1 = n^2 \cdot p$

Algorithme par blocs bidimensionnel

A : circulation en ligne



$K \times K$ blocs
de taille
 $(n/K) \times (n/K)$

$$0 < K \leq n$$

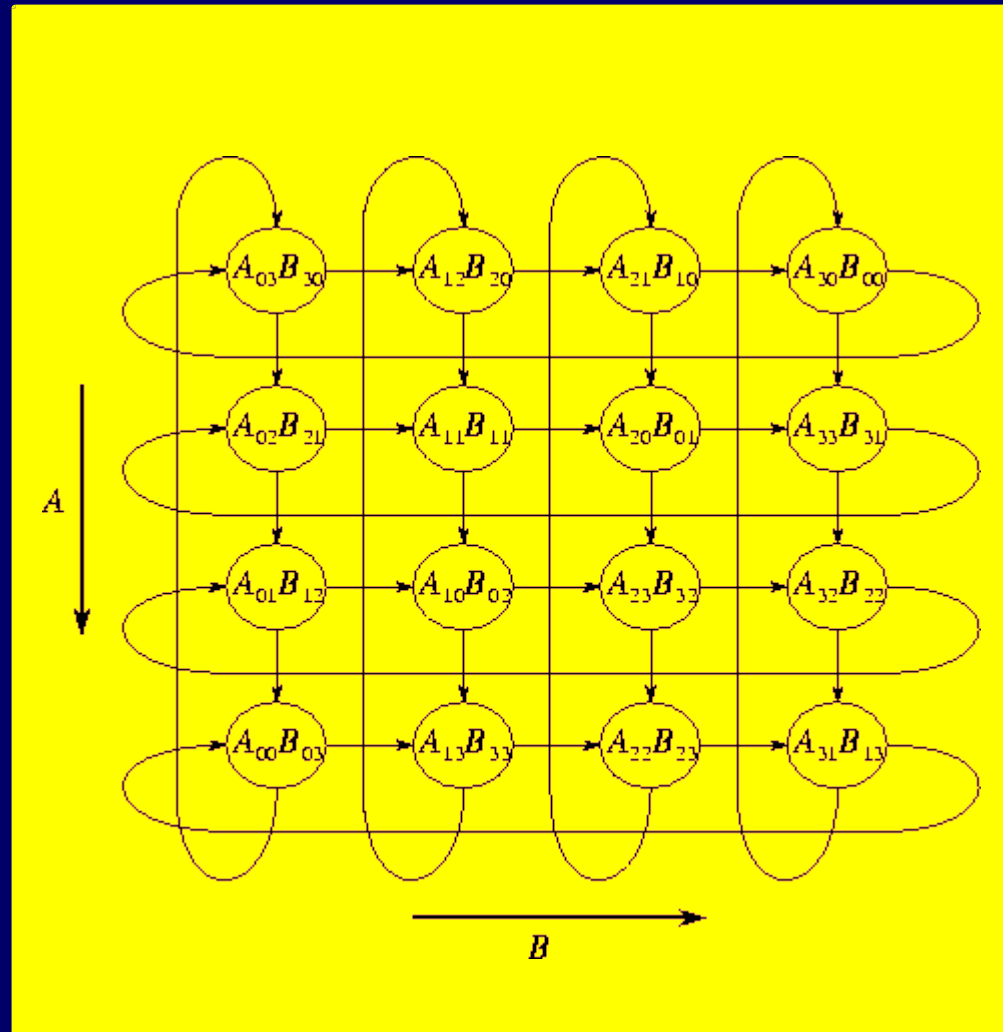
$$\S K^2 = p$$

$$\S K = \sqrt{p}$$

B : circulation en colonne

Produit de matrices en bloc : $K \times K$ blocs

A : circulation
en ligne



B : circulation
en colonne

Algorithme par bloc

- | - Calcul $C(i,j) = \sum A(i,k)*B(k,j)$ sur un même proc
- | - Pipeline: circulation A par ligne; circulation B par colonne
- | - Init: Attention : on démarre avec $A(i,i)$ sur chaque proc.
- | Processeur (i,j) :

§ Init : wait $localA = A(i,i); localB = B(i,j); tmpA = \dots; tmpB = \dots$

§ For (k=1; k<K; k++) {

w $async_send(localA, P(i,j-1\%K)); async_recv(tmpA, P(i,j+1\%K));$

w $async_send(localB, P(i-1\%K,j)); async_recv(tmpB, P(i+1\%K, j));$

w $C(i, j) += localA*localB;$

w $Sync; swap(localB, tmpB); swap(localA, tmpA);$ }

Algorithme par bloc

- | - Calcul $C(i,j) = \sum A(i,k)*B(k,j)$ sur un même proc
- | - Pipeline: circulation A par ligne; circulation B par colonne
- | - Init: Attention : on démarre avec $A(i,i)$ sur chaque proc.

| Processeur (i,j) :

§ Init : wait $localA = A(i,i); localB = B(i,j); tmpA = \dots; tmpB = \dots$

§ For (k=1; k<K; k++) {

 w $async_send(localA, P(i, j-1 \% K)); async_recv(tmpA, P(i, j+1 \% K));$

 w $async_send(localB, P(i-1 \% K, j)); async_recv(tmpB, P(i+1 \% K, j));$

 w $C(i, j) += localA * localB;$

 w $Sync; swap(localB, tmpB); swap(localA, tmpA);$ }

| Coût : $T_\infty = K \cdot (n/K)^3 = n^3/K^2$ et $T_1 = n^3$

| Communications: $C_\infty = K \cdot n^2/K^2 = n^2/K$ et $C_1 = n^2 \cdot K$

| Avec $K = \sqrt{p}$ ($p \leq n^2$) processeurs : $T_\infty = n^3/p$ et $C_1 = n^2 \cdot \sqrt{p}$

Algorithme par distribution des calculs

- | - A et B découpées en $K \times K$ blocs bidimensionnels
- | - $\Rightarrow K^3$ calculs parallèles : $\text{tmp}(i, k, j) = A(i, k) * B(k, j)$
- | - Puis réduction : $C(i, j) = \sum_{k=0..K-1} \text{tmp}(i, k, j)$ (en arbre)

Algorithme par blocs et distribution des calculs

- A et B découpées en $K \times K$ blocs bidimensionnels

- $\Rightarrow K^3$ calculs parallèles : $\text{tmp}(i, k, j) = A(i, k) * B(k, j)$

Coût : $T_\infty = (n/K)^3 = n^3/K^3$ et $T_1 = n^3$ avec K^3 procs

Comm.: $C_\infty = n^2/K^2$ et $C_1 = n^2.K$

- Puis réduction : $C(i, j) = \sum_{k=0..K-1} \text{tmp}(i, k, j)$ (arbre)

Coût : $T_\infty = (n/K)^2 . \log K$ et $T_1 = K^2.K.(n/K)^2 = n^2.K$

Comm.: $C_\infty = n^2/K^2 . \log K$ et $C_1 = n^2.K$

- Avec $K=p^{1/3}$ ($p \leq n^3$) processeurs : $T_\infty = n^3/p$ et $C_1 = n^2.p^{1/3}$

Algorithme par bloc et distribution des calculs

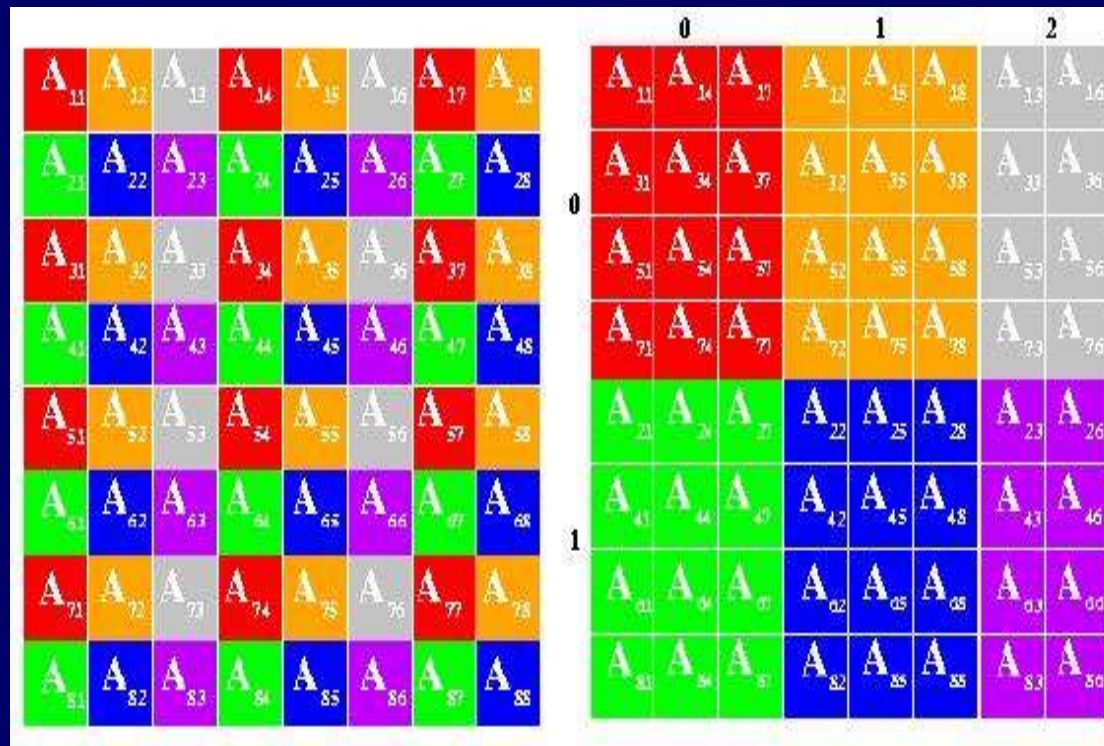
- | - Pipeline des accès pour masquer le facteur $\log K$
- | - On choisit $K \gg p^{1/3}$ (i.e. Parallelisation plus fine)
- | - Chaque processeur peut ainsi anticiper les sommations

- | \Rightarrow Avec $p=n^3$ processeurs : $C_\infty = n^2/K^2$ et $C_1 = n^2.K$
soit $C_p = n^{4/3}$ au max. par proc.

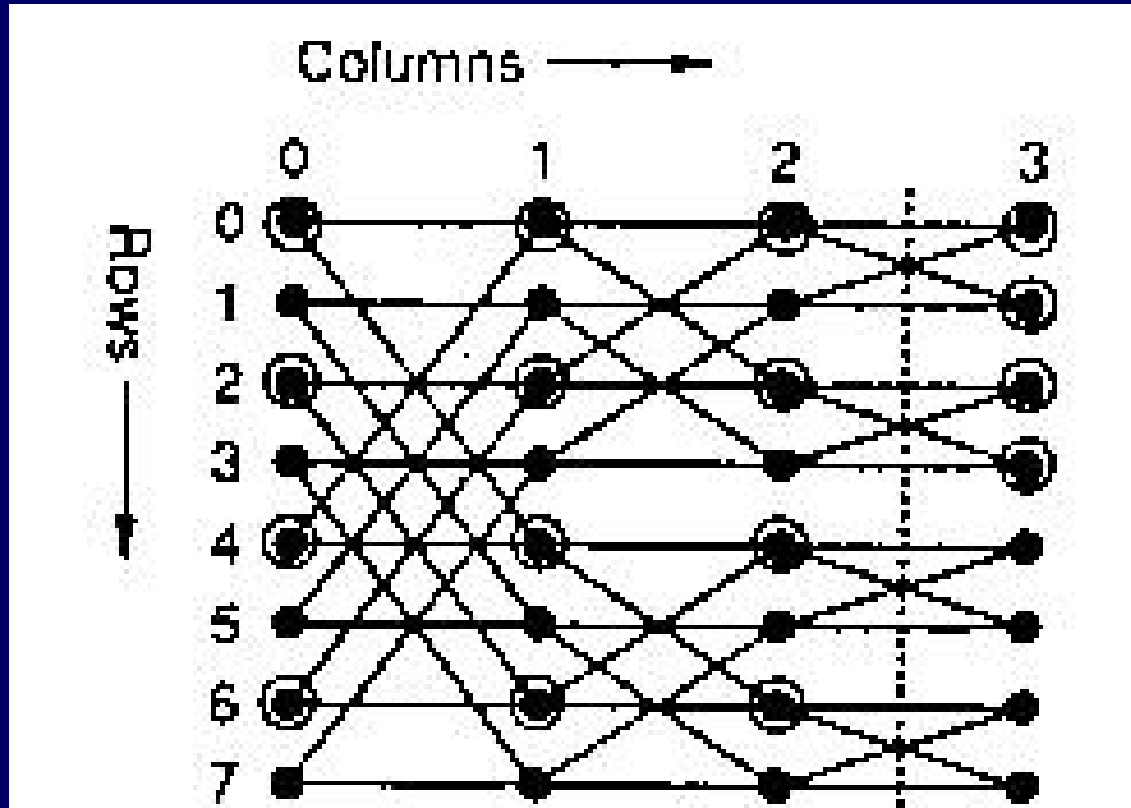
- | \Rightarrow Distribution bloc-cyclique bi-dimensionnel

Distribution bloc-cyclique bi-dimensionnelle

Sur 6 Processeurs, agencés en grille 2x3



Exemple 3 : FFT



FFT : performances

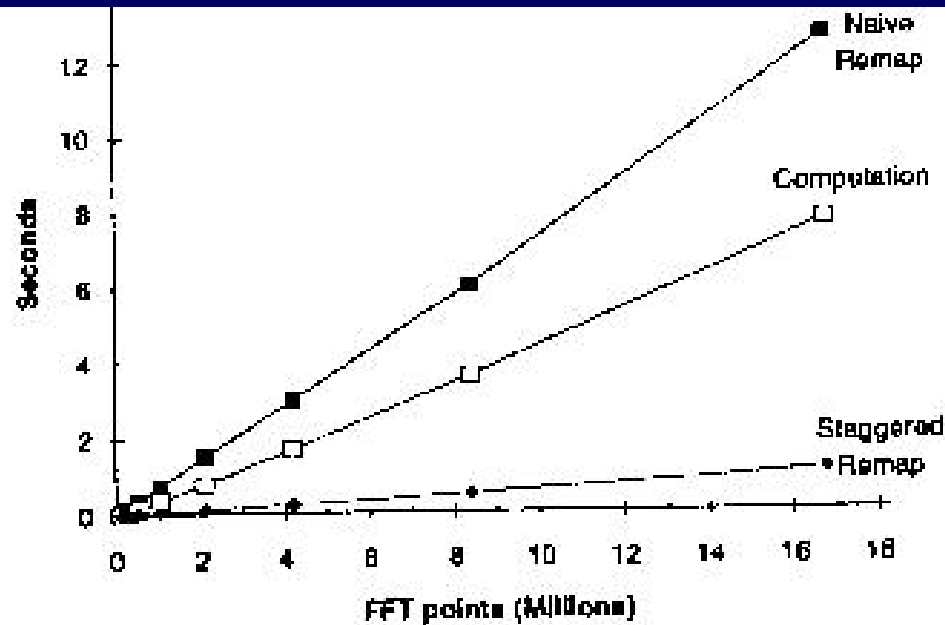


Figure 6: Execution times for FFTs of various sizes on a 128 processor CM-5. The compute curve represents the time spent computing locally. The bad remap curve shows the time spent remapping the data from a cyclic layout to a blocked layout if a naive communication schedule is used. The good remap curve shows the time for the same remapping, but with a contention-free communication schedule, which is an order of magnitude faster. The X axis scale refers to the entire FFT size.

FFT : redistribution

$$T_1 = \sqrt{n}$$
$$T_\infty = \sqrt{n} \cdot \log n$$

$$C_1 = n$$

